

Теория сильнонелинейной кильватерной волны на основе закона сохранения энергии

Anton Golovanov,^{1,2} Igor Kostyukov,² Alexander Pukhov,³ Victor Malka¹

¹Weizmann Institute of Science, Rehovot, Israel

²Институт прикладной физики РАН, Нижний Новгород, Россия

³Institut für Theoretische Physik I, Heinrich-Heine-Universität Düsseldorf, Germany

23 марта 2023 г.

Статья: A. Golovanov et al. *PRL* **130**, 105001 (2023)

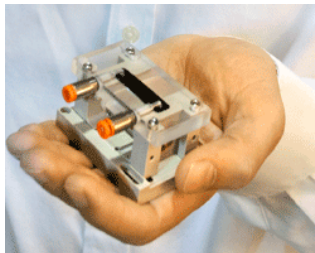
Stanford linear acceleration center (SLAC)



50 ГэВ на 3 км

Ускоряющий градиент ~ 100 МэВ/м

Плазменные ускорители

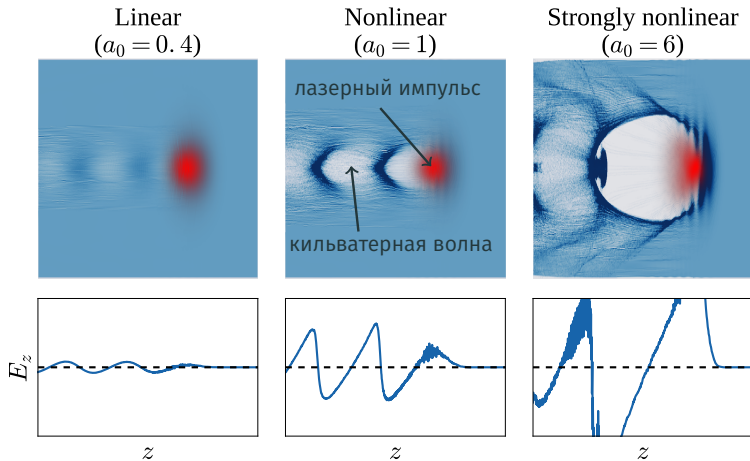


7.8 ГэВ на 20 см.

Ускоряющий градиент ~ 50 ГэВ/м

Gonsalves *et al.* PRL **122**, 084801 (2019).

Кильватерная волна в плазме

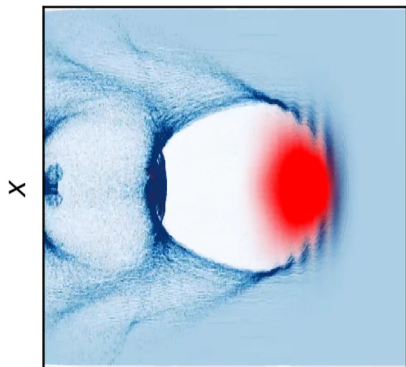


$$a_0 = \frac{eE_L}{mc\omega_L} \text{ — безразмерная лазерная амплитуда}$$

Сильно нелинейный («баббл») режим кильватерной волны

Лазерный драйвер ($a_0 \gg 1$)

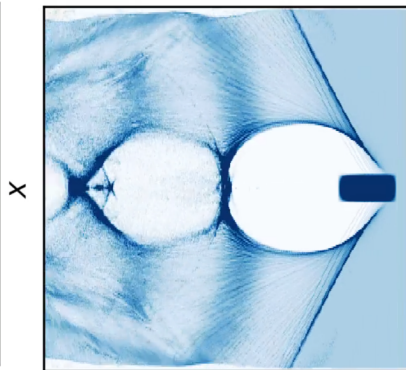
n_e



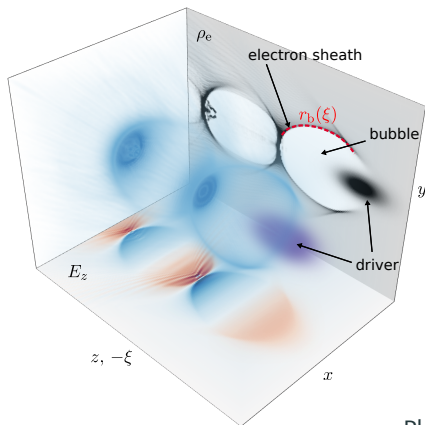
$z-ct$

Электронный драйвер ($n_B \gg n_p$)

n_e



$z-ct$



Приближения

- Осевая симметрия, координаты (r, z)
- Квазистатическое приближение:
 $f(t, z, r) = f(\xi, r), \quad \xi = t - z.$
- У плазменной полости есть граница $r_b(\xi)$, являющаяся электронной траекторией
- При $r < r_b$ нет плазменных электронов; $r \geq r_b$ — электронный слой
- Ионы неподвижны

Plasma units: $t \rightarrow \omega_p t, \mathbf{r} \rightarrow k_p \mathbf{r},$
 $\mathbf{E} \rightarrow e\mathbf{E}/mc\omega_p,$ etc.

Lu et al. *Phys. Plasmas* **13**, 056709 (2006)

Модель Лю: уравнение для границы плазменной полости

Для границы плазменной полости получается уравнение

$$A(r_b) \frac{d^2 r_b}{d\xi^2} + B(r_b) \left(\frac{dr_b}{d\xi} \right)^2 + C(r_b) = \lambda(\xi, r_b),$$

где

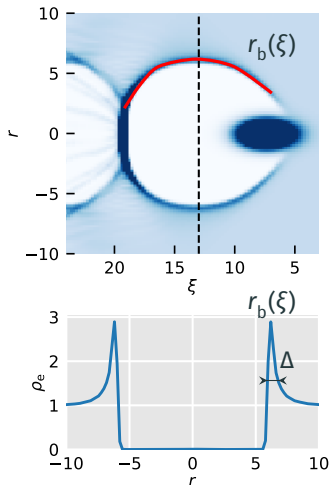
$$A(r_b) = r_b \left(1 + \frac{r_b^2}{4} + \frac{3r_b \Delta}{4} \right)$$

$$B(r_b) = \frac{r_b^2}{2} \left(1 + \frac{\Delta}{r_b} \right)$$

$$C(r_b) = \frac{r_b^2}{4} \frac{1 + (1 + r_b \Delta/2)^2}{(1 + r_b \Delta/2)^2}$$

$$\lambda(\xi, r_b) = - \int_0^{r_b} \rho_e(\xi, r') r' dr'$$

$$E_z(\xi) = \frac{r_b + \Delta}{2} \frac{dr_b}{d\xi}$$



Lu et al. *Phys. Plasmas* **13**, 056709 (2006); Golovanov et al. *Quantum electron.* **46**, 295 (2016).

Модель Лю: уравнение для границы плазменной полости

Для границы плазменной полости получается уравнение

$$A(r_b) \frac{d^2 r_b}{d\xi^2} + B(r_b) \left(\frac{dr_b}{d\xi} \right)^2 + C(r_b) = \lambda(\xi, r_b),$$

где

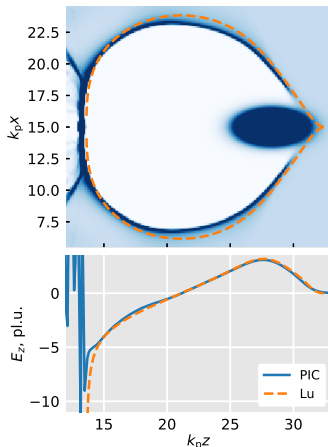
$$A(r_b) = r_b \left(1 + \frac{r_b^2}{4} + \frac{3r_b \Delta}{4} \right)$$

$$B(r_b) = \frac{r_b^2}{2} \left(1 + \frac{\Delta}{r_b} \right)$$

$$C(r_b) = \frac{r_b^2}{4} \frac{1 + (1 + r_b \Delta/2)^2}{(1 + r_b \Delta/2)^2}$$

$$\lambda(\xi, r_b) = - \int_0^{r_b} \rho_e(\xi, r') r' dr'$$

$$E_z(\xi) = \frac{r_b + \Delta}{2} \frac{dr_b}{d\xi}$$



Lu et al. *Phys. Plasmas* **13**, 056709 (2006); Golovanov et al. *Quantum electron.* **46**, 295 (2016).

ЭМ поле (кильватерное)

$$\frac{\partial W_{EM}}{\partial t} + \nabla \cdot \mathbf{S}_{EM} = -\mathbf{j} \cdot \mathbf{E}$$

$W_{EM} = \frac{\mathbf{E}^2 + \mathbf{B}^2}{2}$ плотность ЭМ энергии

$\mathbf{S}_{EM} = \mathbf{E} \times \mathbf{B}$ вектор Пойнтинга

ЭМ поле (кильватерное)

$$\frac{\partial W_{EM}}{\partial t} + \nabla \cdot \mathbf{S}_{EM} = -\mathbf{j} \cdot \mathbf{E}$$

$W_{EM} = \frac{\mathbf{E}^2 + \mathbf{B}^2}{2}$ плотность ЭМ энергии

$\mathbf{S}_{EM} = \mathbf{E} \times \mathbf{B}$ вектор Пойнтинга

Электроны плазмы

$$\frac{\partial W_e}{\partial t} + \nabla \cdot \mathbf{S}_e = \mathbf{j}_e \cdot \mathbf{E} + \frac{1}{2} \frac{\partial \langle \mathbf{a}^2 \rangle}{\partial t} n_e \gamma^{-1}$$

$W_e = n_e \overline{(\gamma - 1)}$ плотность энергии электронов

$\mathbf{S}_e = n_e \mathbf{v} \overline{(\gamma - 1)}$ плотность потока энергии

$\langle \mathbf{a}^2 \rangle$ пондеромоторный потенциал

ЭМ поле (кильватерное)

$$\frac{\partial W_{EM}}{\partial t} + \nabla \cdot \mathbf{S}_{EM} = -\mathbf{j} \cdot \mathbf{E}$$

$$W_{EM} = \frac{\mathbf{E}^2 + \mathbf{B}^2}{2} \text{ плотность ЭМ энергии}$$

$$\mathbf{S}_{EM} = \mathbf{E} \times \mathbf{B} \text{ вектор Пойнтинга}$$

Электроны плазмы

$$\frac{\partial W_e}{\partial t} + \nabla \cdot \mathbf{S}_e = \mathbf{j}_e \cdot \mathbf{E} + \frac{1}{2} \frac{\partial \langle \mathbf{a}^2 \rangle}{\partial t} n_e \overline{\gamma^{-1}}$$

$$W_e = n_e \overline{(\gamma - 1)} \text{ плотность энергии электронов}$$

$$\mathbf{S}_e = n_e \mathbf{v} \overline{(\gamma - 1)} \text{ плотность потока энергии}$$

$$\langle \mathbf{a}^2 \rangle \text{ пондеромоторный потенциал}$$

Полная энергия кильватерной волны

$$\frac{\partial W}{\partial t} + \nabla \cdot \mathbf{S} = -\mathbf{j}_B \cdot \mathbf{E} + \frac{1}{2} \frac{\partial \langle \mathbf{a}^2 \rangle}{\partial t} n_e \overline{\gamma^{-1}}$$

$$W = W_{EM} + W_e \quad \mathbf{S} = \mathbf{S}_{EM} + \mathbf{S}_e$$

В токах $\mathbf{j} = \mathbf{j}_e + \mathbf{j}_B$ есть электроны плазмы (\mathbf{j}_e) и внешние сгустки (\mathbf{j}_B).

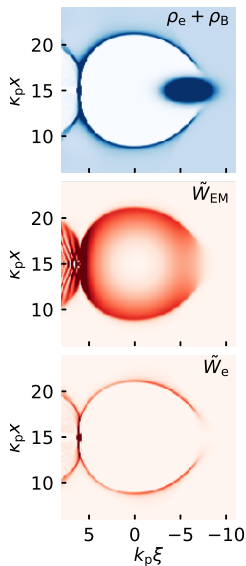
Полная энергия кильватерной волны

$$\frac{\partial W}{\partial t} + \nabla \cdot \mathbf{S} = -\mathbf{j}_B \cdot \mathbf{E} + \frac{1}{2} \frac{\partial \langle \mathbf{a}^2 \rangle}{\partial t} n_e \gamma^{-1}$$

Квазистатическое приближение ($\xi = t - z$)

$$\frac{\partial \tilde{W}}{\partial \xi} + \nabla_{\perp} \cdot \mathbf{S}_{\perp} = -\rho_B E_z + \frac{1}{2} \frac{\partial \langle \mathbf{a}^2 \rangle}{\partial \xi} n_e \gamma^{-1}$$

$\tilde{W} = W - S_z$ — плотность квазиэнергии. Для ультрарелятивистских сгустков: $\mathbf{j}_B \approx \rho_B \mathbf{z}_0$



Полная энергия кильватерной волны

$$\frac{\partial W}{\partial t} + \nabla \cdot \mathbf{S} = -\mathbf{j}_B \cdot \mathbf{E} + \frac{1}{2} \frac{\partial \langle \mathbf{a}^2 \rangle}{\partial t} n_e \gamma^{-1}$$

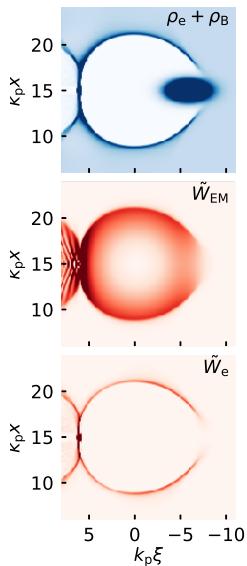
Квазистатическое приближение ($\xi = t - z$)

$$\frac{\partial \tilde{W}}{\partial \xi} + \nabla_{\perp} \cdot \mathbf{S}_{\perp} = -\rho_B E_z + \frac{1}{2} \frac{\partial \langle \mathbf{a}^2 \rangle}{\partial \xi} n_e \gamma^{-1}$$

$\tilde{W} = W - S_z$ — плотность квазиэнергии. Для ультрарелятивистских сгустков: $\mathbf{j}_B \approx \rho_B \mathbf{z}_0$

$$\tilde{W}_{EM} = \frac{1}{2} [(\nabla \psi_w)^2 + B_z^2] \quad \tilde{W}_e = n_e \overline{(\gamma - 1)(1 - v_z)}$$

$\psi_w = \varphi - A_z$ is кильватерный потенциал.



Полная энергия кильватерной волны

$$\frac{\partial W}{\partial t} + \nabla \cdot \mathbf{S} = -\mathbf{j}_B \cdot \mathbf{E} + \frac{1}{2} \frac{\partial \langle \mathbf{a}^2 \rangle}{\partial t} n_e \gamma^{-1}$$

Квазистатическое приближение ($\xi = t - z$)

$$\frac{\partial \tilde{W}}{\partial \xi} + \nabla_{\perp} \cdot \mathbf{S}_{\perp} = -\rho_B E_z + \frac{1}{2} \frac{\partial \langle \mathbf{a}^2 \rangle}{\partial \xi} n_e \gamma^{-1}$$

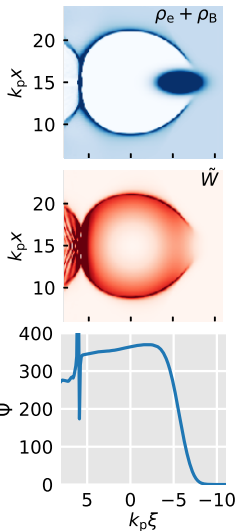
$\tilde{W} = W - S_z$ — плотность квазиэнергии.

Интеграл по поперечной плоскости

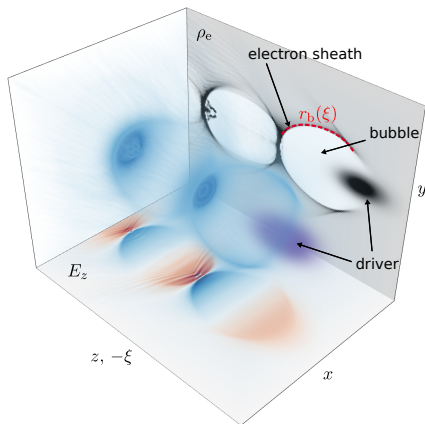
$$\frac{d\Psi}{d\xi} = - \int \rho_B E_z d^2 \mathbf{r}_{\perp} + \frac{1}{2} \int \frac{\partial \langle \mathbf{a}^2 \rangle}{\partial \xi} n_e \gamma^{-1} d^2 \mathbf{r}_{\perp}$$

$$\Psi(\xi) = \int \tilde{W} d^2 \mathbf{r}_{\perp} \quad (\text{квазиэнергия в сечении})$$

Нет драйвера и ускоряемых сгустков: $\Psi(\xi) = \text{const.}$



Модель плазменной полости



- Осевая симметрия (r, z) , компоненты E_z, E_r, B_ϕ .
- У плазменной полости есть граница $r_b(\xi)$.
- Внутри границы нет электронов плазмы.
- Электронный слой на границе бесконечно тонкий.

$$\Psi = \Psi_{EM} + \Psi_e$$

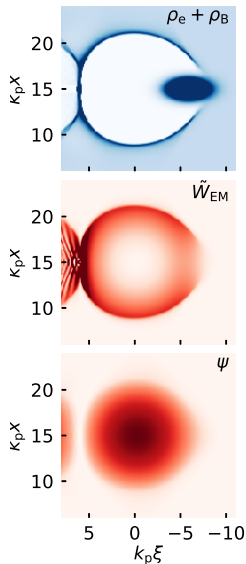
ЭМ квазиэнергия в сечении

$$\tilde{W}_{EM} = \frac{(\nabla\psi_w)^2}{2} \quad \Psi_{EM}(\xi) = \pi \int_0^{r_b(\xi)} (\nabla\psi_w)^2 r dr$$

Граничное условие: $\psi_w(\xi, r_b(\xi)) = 0$.

Кильватерный потенциал внутри плазменной полости

$$\Delta_{\perp}\psi_w = j_z - \rho = -1, \quad \psi_w(\xi, r) = \frac{r_b^2(\xi) - r^2}{4}$$



ЭМ квазиэнергия в сечении

$$\tilde{W}_{EM} = \frac{(\nabla\psi_w)^2}{2} \quad \Psi_{EM}(\xi) = \pi \int_0^{r_b(\xi)} (\nabla\psi_w)^2 r dr$$

Граничное условие: $\psi_w(\xi, r_b(\xi)) = 0$.

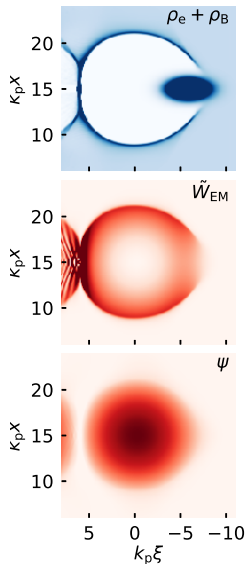
Кильватерный потенциал внутри плазменной полости

$$\Delta_{\perp}\psi_w = j_z - \rho = -1, \quad \psi_w(\xi, r) = \frac{r_b^2(\xi) - r^2}{4}$$

Тогда

$$(\nabla\psi_w)^2 = \frac{r^2}{4} + \frac{r_b^2}{4} \left(\frac{dr_b}{d\xi} \right)^2$$

$$\Psi_{EM}(\xi) = \frac{\pi r_b^4}{16} \left[1 + 2 \left(\frac{dr_b}{d\xi} \right)^2 \right]$$



Квазиэнергия электронов в сечении

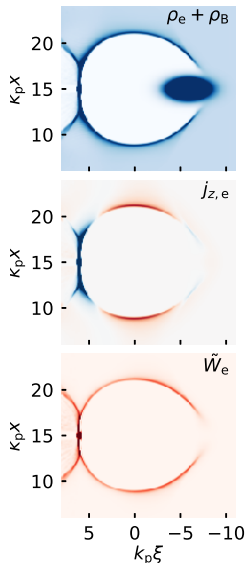
Для вычисления Ψ_e , мы полагаем

- Дельта-слой на границе $j_{z,e} = j_0(\xi)r_b\delta(r - r_b)$
- электроны движутся по касательной к границе, $v_r/(1 - v_z) = dr_b/d\xi$
- Интеграл движения $\gamma - p_z - \psi_w = 1$

Тогда можно найти

$$j_0 = -\frac{1}{4}\left(\frac{dr_b}{d\xi}\right)^2$$

$$\begin{aligned}\Psi_e(\xi) &= 2\pi \int_{r_b-0}^{r_b+0} \tilde{W}_e r dr \\ &= -2\pi \int_{r_b-0}^{r_b+0} (j_z + \psi_w \rho_e) r dr = \frac{\pi}{2} r_b^2 \left(\frac{dr_b}{d\xi}\right)^2\end{aligned}$$



Уравнение для границы плазменной полости

В итоге, полная квазиэнергия

$$\Psi = \frac{\pi r_b^2}{16} \left[r_b^2 + (2r_b^2 + 8) \left(\frac{dr_b}{d\xi} \right)^2 \right], \quad \frac{d\Psi}{d\xi} = -\pi r_b \frac{dr_b}{d\xi} \int_0^{r_b} \rho_B r dr$$

Уравнение для границы плазменной полости

В итоге, полная квазиэнергия

$$\Psi = \frac{\pi r_b^2}{16} \left[r_b^2 + (2r_b^2 + 8) \left(\frac{dr_b}{d\xi} \right)^2 \right], \quad \frac{d\Psi}{d\xi} = -\pi r_b \frac{dr_b}{d\xi} \int_0^{r_b} \rho_B r dr$$

И мы получаем уравнение

$$\left(\frac{r_b^3}{4} + r_b \right) \frac{d^2 r_b}{d\xi^2} + \left(\frac{r_b^2}{2} + 1 \right) \left(\frac{dr_b}{d\xi} \right)^2 + \frac{r_b^2}{2} = \lambda(\xi, r_b), \quad \lambda(\xi, r_b) = \int_0^{r_b} \rho_B r dr$$

красные — ЭМ энергия, синие — энергия электронов плазмы.

Уравнение для плазменной полости = закон сохранения энергии

$$A(r_b) \frac{d^2 r_b}{d\xi^2} + B(r_b) \left(\frac{dr_b}{d\xi} \right)^2 + C(r_b) = \lambda(\xi, r_b), \quad \lambda(\xi, r_b) = \int_0^{r_b} \rho_B r dr$$

ЗСЭ

$$A = \frac{r_b^3}{4} + r_b \quad B = \frac{r_b^2}{2} + 1$$

$$C = \frac{r_b^2}{4} \quad E_z = \frac{r_b}{2} \frac{dr_b}{d\xi}$$

Модель Лю

$$A = \frac{r_b^3}{4} + r_b + \frac{3}{4} r_b^2 \Delta, \quad B = \frac{r_b^2}{2} + \frac{r_b \Delta}{2},$$

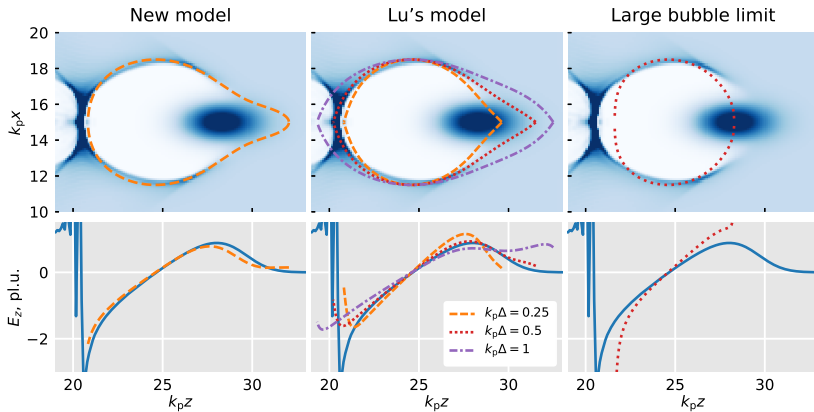
$$C = \frac{r_b^2}{4} \left[1 + \left(1 + \frac{r_b \Delta}{2} \right)^{-2} \right], \quad E_z = \frac{r_b + \Delta}{2} \frac{dr_b}{d\xi}.$$

Не соответствует ЗСЭ

Для плазменной полости большого размера $r_b \gg 1$, уравнения одинаковые:

$$r_b \frac{d^2 r_b}{d\xi^2} + 2 \left(\frac{dr_b}{d\xi} \right)^2 + 1 = \frac{4\lambda}{r_b^2}$$

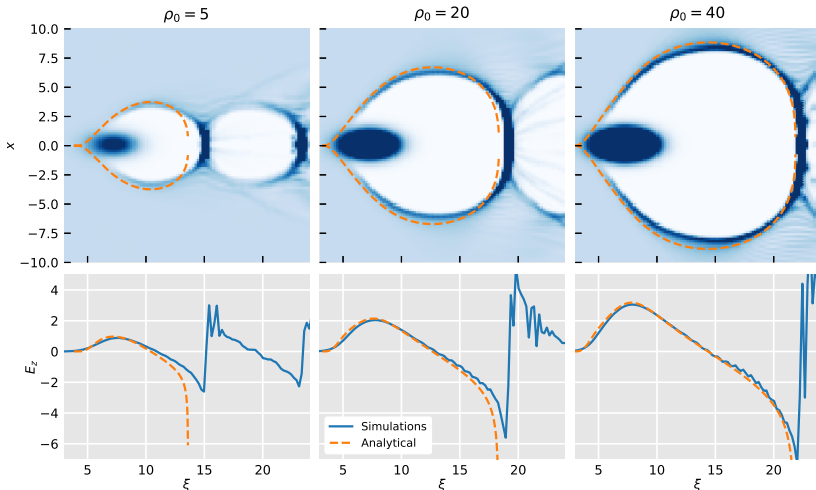
Сравнение моделей



Решение построено из точки $r_b = \max r_b$.

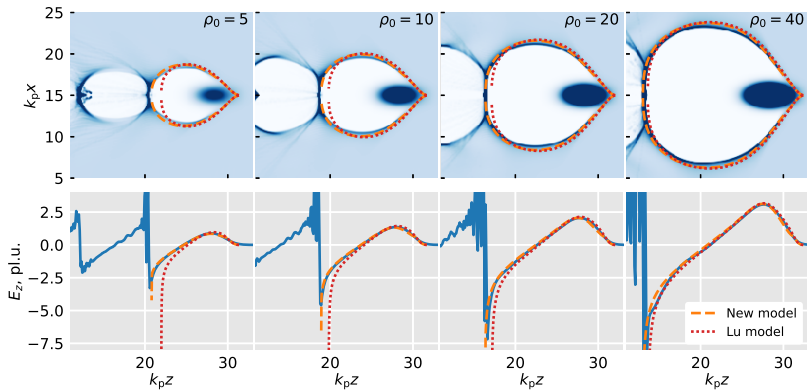
Возбуждение плазменной полости

Самосогласованная модель возбуждения плазменной полости электронным сгустком на основе модели Лю в пределе $r_b \gg 1$.



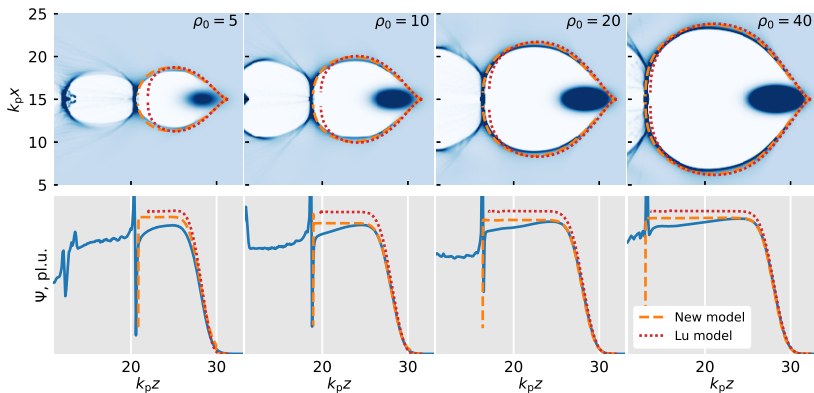
Возбуждение плазменной полости

Обобщение на новое уравнение: до $r_b < 1$ старое решение, при $r_b > 1$ новое.

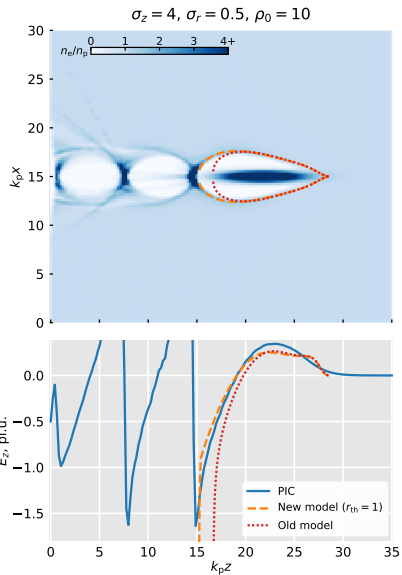
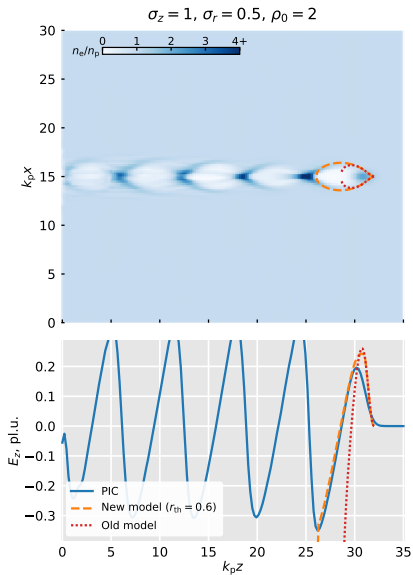


Возбуждение плазменной полости

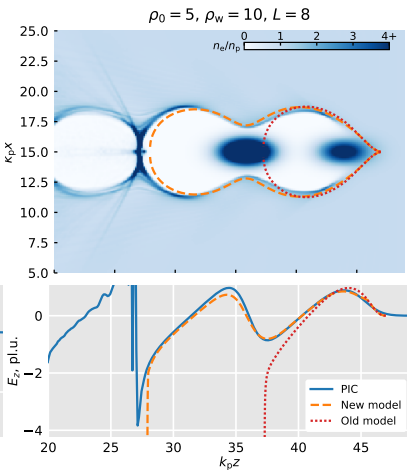
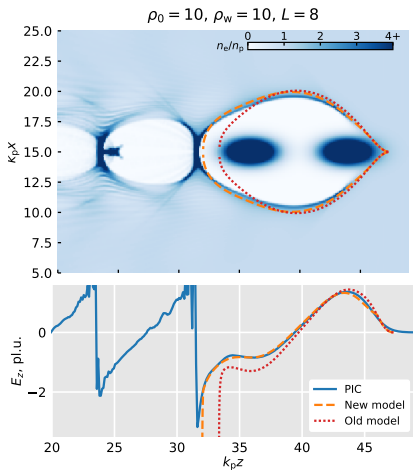
Обобщение на новое уравнение: до $r_b < 1$ старое решение, при $r_b > 1$ новое.



Другие примеры



Примеры с двумя сгустками



Сшивка с квазилинейным решением

В качестве альтернативы можно использовать аналитическое квазилинейное решение на фронте сгустка.

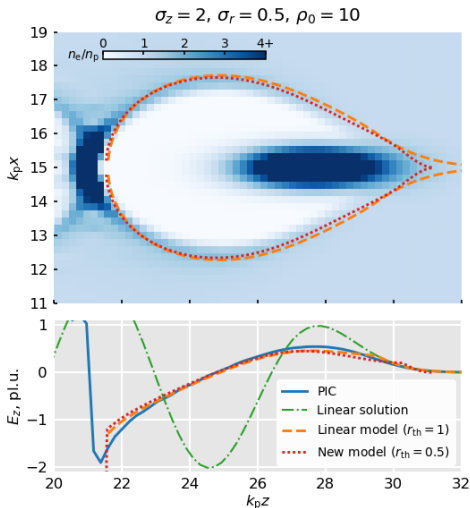
На фронте сгустка известно аналитическое квазилинейное решение.

В баббл-режиме:

$$\psi_w(\xi, 0) = \frac{r_b^2}{4}, \quad E_z = \frac{r_b}{2} \frac{dr_b}{d\xi}$$

Выражая r_b и r_b' , получаем начальные условия

$$r_b = 2\sqrt{\psi_w(\xi, 0)}$$
$$r_b' = \frac{E_z(\xi, 0)}{\sqrt{\psi_w(\xi, 0)}}$$



Сшивка с квазилинейным решением

В качестве альтернативы можно использовать аналитическое квазилинейное решение на фронте сгустка.

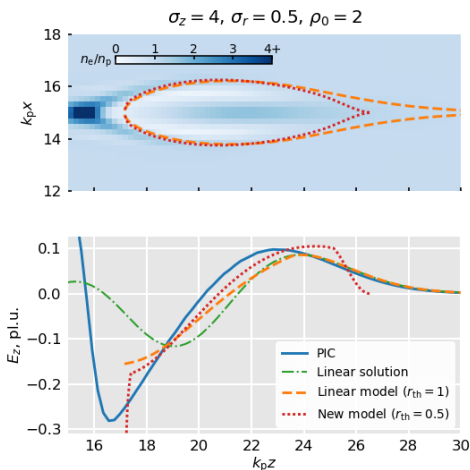
На фронте сгустка известно аналитическое квазилинейное решение.

В баббл-режиме:

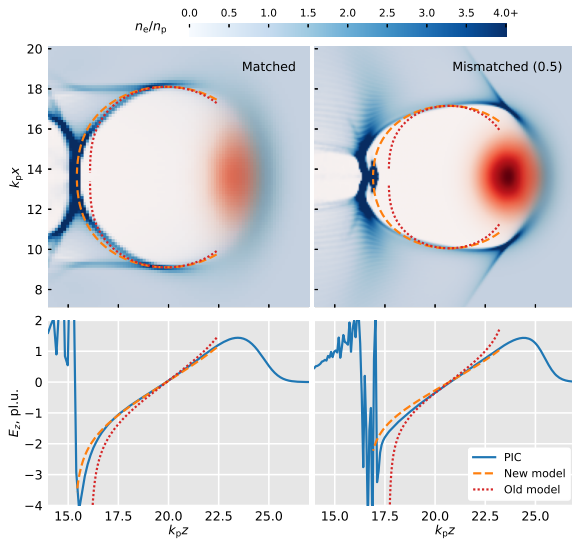
$$\psi_w(\xi, 0) = \frac{r_b^2}{4}, \quad E_z = \frac{r_b}{2} \frac{dr_b}{d\xi}$$

Выражая r_b и r_b' , получаем начальные условия

$$r_b = 2\sqrt{\psi_w(\xi, 0)}$$
$$r_b' = \frac{E_z(\xi, 0)}{\sqrt{\psi_w(\xi, 0)}}$$



Лазерный драйвер



Спасибо за внимание!

Статья: A. Golovanov et al. *PRL* 130, 105001 (2023)